

# 计算机图形学大作业 1 项目报告

## 网格分割

夏卓凡 2020211000 自硕 20

2020 年 12 月 15 日

### 1 程序框架说明

本文根据文章《*Hierarchical Mesh Decomposition using Fuzzy Clustering and Cut*》[1], 实现了网格分割的  $k$  路分解算法。程序将这一算法实现为如下几个步骤: 定义对偶网络及其权重, 求解距离矩阵, 初始化  $k$  个中心点并迭代聚类, 对模糊区域构建运输网络并用最小割细化分割结果。接下来我们将分别介绍这些步骤的具体执行流程。

#### 1.1 对偶网络的定义

假设面片模型中仅包含一个连通区域  $F$ , 我们定义  $F$  上相邻面片  $f_i, f_j$  的测地距离和角度距离

$$\text{Geod}(f_i, f_j) = |P_1S| + |P_2S|, \quad (1)$$

$$\text{Angd}(f_i, f_j) = \eta(1 - \cos(\angle n_1, n_2)), \quad (2)$$

其中  $P_1, P_2$  为  $f_i$  和  $f_j$  的重心,  $n_1, n_2$  为  $f_i$  和  $f_j$  的法向量,  $S$  为将  $f_i$  和  $f_j$  展开到平面情况下  $P_1P_2$  连线与  $f_i$  和  $f_j$  相交直线的交点, 如图 1 所示。求角度距离, 如果面心连线与某个面法向夹角为钝角则  $\eta = 0.2$  (凸), 否则  $\eta = 1.0$  (凹)。求测地距离, 可利用图 2 所示几何关系, 分别连接  $P_1$  和  $P_2$  和  $f_i$  与  $f_j$  的公共边上顶点  $T$ , 那么当  $P_1, P_2, T$  共面时  $|P_1P_2|$  即为测地距离, 根据向量内积关系

$$\alpha = \arccos \left( \frac{\overrightarrow{TP_1} \cdot \overrightarrow{TS}}{|\overrightarrow{TP_1}| |\overrightarrow{TS}|} \right), \quad (3)$$

$$\beta = \arccos \left( \frac{\overrightarrow{TP_2} \cdot \overrightarrow{TS}}{|\overrightarrow{TP_2}| |\overrightarrow{TS}|} \right), \quad (4)$$

求出  $\alpha$  和  $\beta$  后再根据余弦定理, 可以计算测地距离的平方

$$(|P_1S| + |P_2S|)^2 = |P_1T|^2 + |P_2T|^2 - 2|P_1T||P_2T|\cos(\alpha + \beta). \quad (5)$$

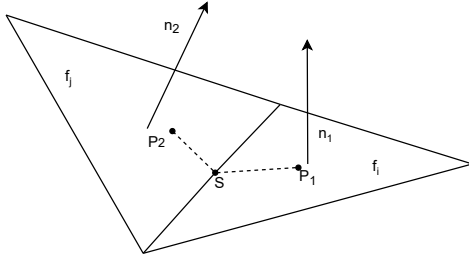


图 1: 相邻面片及其法向量

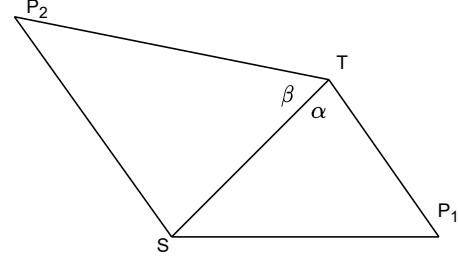


图 2: 测地距离计算

接下来，对对偶网络中的不同节点  $i, j$ ，如果它们对应的面片相邻，则按照文章中定义权重，否则设为  $\infty$ ，公式为

$$w_{ij} = w_{ji} = \delta \cdot \frac{\text{Geod}(f_i, f_j)}{\frac{1}{|E|} \sum_{e_{ij}} \text{Geod}(f_i, f_j)} + (1 - \delta) \cdot \frac{\text{Angd}(f_i, f_j)}{\frac{1}{|E|} \sum_{e_{ij}} \text{Angd}(f_i, f_j)}, \quad (6)$$

其中分母部分的  $E$  表示对偶图中的邻接节点，分母表示对所有对偶图中的边求平均。

## 1.2 求解距离矩阵

在获得了初始权重矩阵  $W$  之后，接下来我们计算对偶网络中任意两节点的最短距离，也就是聚类中用到的距离矩阵。这是一个全源最短路问题，应用 Floyd-Warshall 算法可以求解，如算法 1 所示。然而，算法关于面片数  $n$  的时间复杂度为  $O(n^3)$ ，这会导致运行时间变得相当长。为了快速地计算出大规模网络的最短路径，我们使用 GPU 加速，借用了一份 CUDA 上的 Floyd-Warshall 算法的实现代码<sup>1</sup>。

---

### Algorithm 1 Floyd-Warshall 算法

---

**Require:** 网络权重矩阵  $W$ ，节点数  $n$

**Ensure:** 任意两节点间最短路径矩阵  $V$

$V \leftarrow W$

**for**  $k = 1 \dots n$  **do**

**for**  $i = 1 \dots n$  **do**

**for**  $j = 1 \dots n$  **do**

$V_{ij} \leftarrow \min(V_{ij}, V_{ik} + V_{kj})$

**end for**

**end for**

**end for**

---

<sup>1</sup>[https://github.com/MTB90/cuda-floyd\\_warshall](https://github.com/MTB90/cuda-floyd_warshall)

### 1.3 初始化中心点与聚类

在得到了对偶网络的各个面片间的最短路径矩阵  $V$  后，我们按照文章中对  $k$  路分解的说明初始化。文章对第一个初始中心点，选择距离其他点距离之和最大的点，而之后的中心点则最大化该点到当前中心点集的距离。考虑到与  $0-1$  分解的一致性，而且  $k \geq 2$ ，我们在实现上先取距离最远的一对点作为前两个中心点，之后再随着  $k$  的增大，最大化各个中心点到当前中心点的集合的距离。事实上，我们如果定义集合外点到集合的距离为点到集合内各点的最小距离，则选取的初始中心点与文章中一致。在选择好中心后，我们继续初始化每个节点属于各个中心点的概率矩阵  $P$ ，其中节点  $f_i$  属于中心  $c_j$  的概率为  $P_{ij} = \frac{1/V_{ij}}{\sum_{j=1}^k 1/V_{ij}}$ ，其中分母表示对  $k$  个中心点的距离倒数求和，保证属于各类的概率值求和为 1。在这里我们为了采取文章中改进的概率更新方式，定义一个辅助集合  $A$  用于表示各个面片被分配到的中心点

$$A_c = \{i \mid \max_{j=1, \dots, k} P_{ij} = c, i = 1, \dots, n\}, c = 1, \dots, k. \quad (7)$$

则  $A$  为所有  $A_c$  组成的集合。在迭代聚类的步骤中，更新各个节点的从属概率和更新聚类中心交替进行，当达到最大迭代步数或聚类中心不变后停止运行，如算法 2 所示。

---

#### Algorithm 2 迭代模糊聚类算法

---

**Require:** 节点数  $n$ ，距离矩阵  $V$ ，类别数  $k$ ，中心点集合  $C$ ，分配  $A$ ，概率矩阵  $P$ ，最大迭代步数  $M$

**Ensure:** 更新后的中心点集合  $C$ ，更新后的概率矩阵  $P$

```

for  $i = 1, \dots, M$  do
  for  $j = 1, \dots, n$  do
    for  $c = 1, \dots, k$  do
       $d_{jc} \leftarrow \frac{1}{|A_c|} \sum_{l \in A_c} V_{jl}$ 
       $P_{jc} \leftarrow \frac{1/d_{jc}}{\sum_{c=1}^k 1/d_{jc}}$ 
    end for
  end for
  for  $c = 1, \dots, k$  do
     $C'_c \leftarrow \min_{i=1 \dots n} \sum_{j=1 \dots n} P_{jc} V_{ji}$ 
  end for
  按公式 (7) 更新  $A$ 
  if  $C' = C$  then
    break
  end if
   $C \leftarrow C'$ 
end for

```

---

## 1.4 模糊区域的选择与分割结果的细化

直接取最大概率的中心点作为各面片的归属往往导致不整齐的边缘，这是由于在模糊区域相当多的中心具有不相上下的概率。设对面片  $f_i$  而言，最大概率和第二大概率为  $P_{i,c_1}, P_{i,c_2}$ ，如果给定模糊阈值  $\varepsilon$ ， $P_{i,c_1} - P_{i,c_2} \leq \varepsilon$ ，则认为面片  $f_i$  需要进一步细分，否则可以确定其标签为  $c_1$ 。

对  $k$  类的情况，遍历所有面片，如果需要细分，则按照其类别放入候选集合中；之后我们遍历所有需要细分的两类，按照文中所述的方式添加需要细分的面片外一圈相邻的两类面片，并添加虚拟的原点、汇点。对每个类别对，分别应用 Ford-Fulkerson 算法，求出最小割，如算法 3 所示。事实上，在最大流算法的最后一次迭代后，所有前驱为空的节点和非空的节点自然就是所求的割。

---

**Algorithm 3** Ford-Fulkerson 最小割生成算法

---

**Require:** 增广流量矩阵  $G$ ，流量图节点数  $m$ ，源点  $S$ ，汇点  $T$

**Ensure:** 最大流前驱向量  $p$

```
function BFS( $s, t$ )
     $p \leftarrow \{-1, \dots, -1\}$ ,  $f \leftarrow +\infty$ ,  $q \leftarrow \text{queue}(s)$ 
    while ! $q.empty()$  do
         $u \leftarrow q.pop()$ 
        if  $u = t$  then
            break
        end if
        for  $i = 1, \dots, m$  do
            if  $i \neq s, G_{ui} > 0, p[i] = -1$  then
                 $p[i] \leftarrow u$ ,  $f \leftarrow \min(G_{ui}, f)$ ,  $q.push(i)$ 
            end if
        end for
    end while
    return  $-1$  if  $p[t] = -1$  else  $f$ 
end function

while  $\Delta f = \text{BFS}(S, T) > 0$  do
     $k \leftarrow T$ 
    while  $k \neq S$  do
         $l \leftarrow p[k]$ ,  $G_{lk} \leftarrow G_{lk} - \Delta f$ ,  $G_{kl} \leftarrow G_{kl} + \Delta f$ ,  $k \leftarrow l$ 
    end while
end while
```

---

## 2 测试结果



图 3: Arma 模型 (2400 面片)  $k = 8$  时的分割结果



图 4: dinosaur.2k 模型 (4000 面片)  $k = 10$  时的分割结果

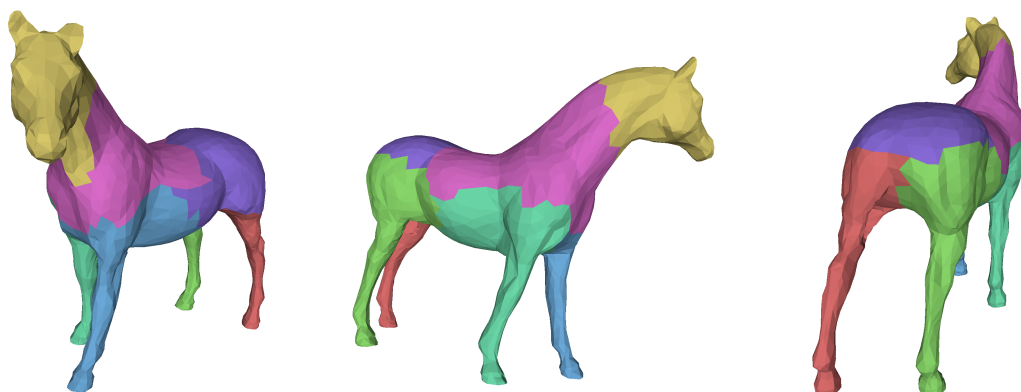


图 5: horse.fine.90k 模型 (4000 面片)  $k = 7$  时的分割结果

## 3 误差与性能分析

### 3.1 实现细节

源代码主要分为 3 个部分，分别对应本文中的 3 个算法。类 `GeoGraph` 对应了对偶网络的创建和最短距离，其中调用了 GPU 加速的 Floyd-Warshall 算法 (`APSPCuda.cuh`、`APSPCuda.cu`)；类 `FuzzyCluster` 实现了类中心点的初始化和迭代聚类算法；类 `Mincut` 实现了基于最小割的细分调整。其他的文件中，`common.h` 和 `common.cpp` 实现了一些通用的各类距离计算函数以及调色板的生成；`main.cpp` 为主程序，为了运行方便，我们使用了一个命令行参数处理工具 `argparse.hpp`<sup>2</sup>。

程序的开发环境为 Visual Studio 2019 (C++ latest)，OpenMesh 8.1 以及 CUDA 10.1，运行环境为 Windows 10 2004，CPU Intel i7-8700K，内存 32GB，GPU NVIDIA GeForce GTX 1080 Ti。

### 3.2 超参数分析

**$\eta$  的影响**  $\eta$  作为角度距离计算中重要的参数，影响着面片对偶网络的距离和最小割的容量。我们选取模型 `horse.fine.90k` 进行  $\delta = 0.8, k = 6, \varepsilon = 0.05$  的分割实验，分别观察  $\eta = 0.01, 0.2, 1.0$  的分割结果，如图 6 所示。 $\eta$  表示对凸区域的抑制作用， $\eta$  越小，相邻面片呈凸角度时角度距离就越小，而呈凹角度时不变。观察分割结果，当  $\eta = 0.01$  非常小的时候，分割的角度距离受控于凹区域，即在模型表面曲率变化较大的部分产生边界，且锯齿较多；而当  $\eta = 1.0$  较大的时候，分割区域的边界相对平滑，但语义信息不再明确，如马的两条后腿分割的区域对称性较差；而  $\eta = 0.2$  是一个权衡的方案，能在保证分割尽量利用凹区域的同时减少锯齿。

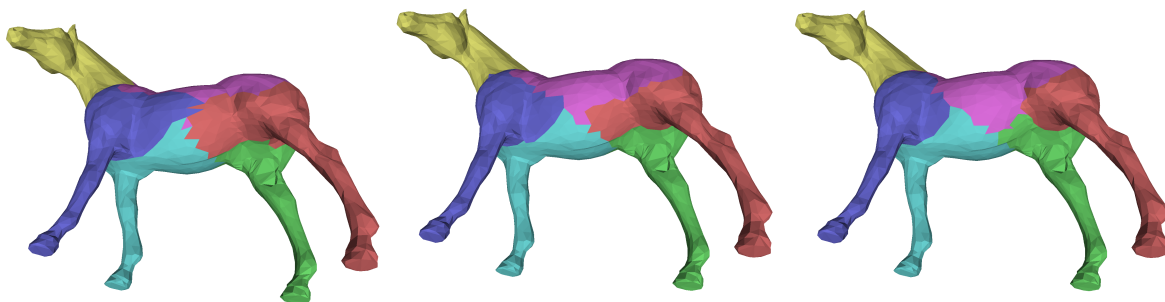


图 6: `horse.fine.90k` 模型  $\eta = 0.01, 0.2, 1.0$  时的分割结果

**$\delta$  的影响**  $\delta$  为平衡测地距离和角度距离的因子， $\delta = 0$  时距离矩阵只考虑角度距离， $\delta = 1$  时距离矩阵只考虑测地距离。如图 7 所示，对  $k = 5$  的 `dinosaur.2k` 模型，当  $\delta = 0$  时，分界面对左右对

<sup>2</sup><https://github.com/p-ranav/argparse>

称的部分不敏感，容易分成一部分，而增大  $\delta$  后，测地距离的引入让分割结果的语义特征更明确，将恐龙的左右两条腿分别分到了不同部分。



图 7: dinosaur.2k 模型  $\delta = 0.0, 0.5, 1.0$  时的分割结果

$\epsilon$  的影响 我们主要观察  $\epsilon$  对模糊区域大小的影响，图 8 展示了不同  $\epsilon$  值下 block 模型的模糊区域，其中亮色区域表示原文中的  $V_{CA}$  和  $V_{CB}$ ，浅灰色区域表示  $V_C$ ，当  $\epsilon$  增大时，需要执行最小割细分的区域变大，但在一定范围内  $\epsilon$  的变化仍能得到相对稳定的最终分割结果。

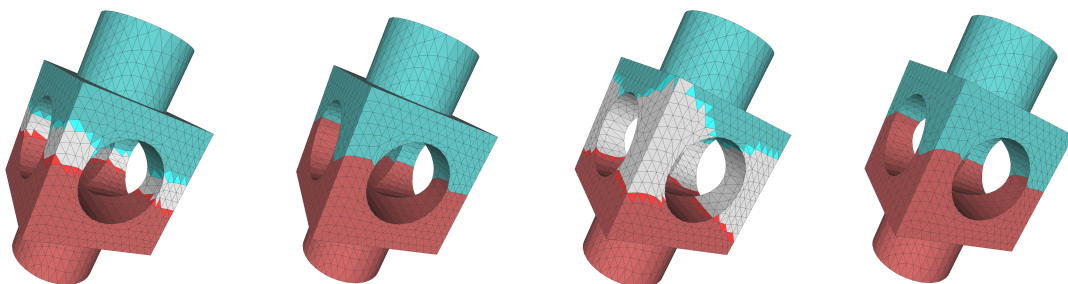


图 8: block 模型  $\epsilon = 0.05, 0.15$  时的分割结果

### 3.3 运行时间分析

这一部分主要展示 CUDA 加速的 Floyd 算法的效率提升，所有时间均在 Release 模式下（O2 优化）测试，Debug 模式下 CPU 版 Floyd-Warshall 算法无法在合理时间内结束。运行时间结果如表 1 所示，单位为毫秒（ms）。

从表中可以看出，程序运行速度的瓶颈在  $O(n^3)$  的最短路径算法上，因此使用 GPU 优化十分有必要，而且优化后其运行速度提升非常显著。另外，由于迭代聚类算法的复杂度为  $O(kn^2)$ ，在类别数较多的情况下，其运行时间也会相对变长。而第三部分的复杂度为  $O(m^2)$  且模糊部分的节点数仅占全部节点的很小一部分， $m \ll n$ ，因此这一部分的运行速度最快。

模型	$k$	面片数	算法1运行时间	算法2运行时间	算法3运行时间	整体运行时间
Arma	6	2400	259 / 12251	216 / 219	7 / 7	497 / 14208
horse.fine.90k	7	4000	600 / 55003	647 / 650	22 / 23	1272 / 55680
block	2	4272	646 / 67145	196 / 200	34 / 34	880 / 67383
bunny.fine	6	8000	2822 / 436274	4067 / 3946	140 / 140	7033 / 440365

表 1: 算法各部分运行时间

## 4 总结

在本次大作业中,我尝试根据《*Hierarchical Mesh Decomposition using Fuzzy Clustering and Cuts*》复现了一个经典的  $k$  路网格分割算法。本次实践复习了我许久不用的 C++, 锻炼了编写传统算法的能力; 另一方面我通过实现各个算法模块, 加深了对数据结构课上学到的算法的理解, 认识到它们与计算机图形学的联系; 此外根据图形学课上学到的知识调节超参数实现更好的分割效果, 根据各模块运行时间分析瓶颈并加以改进, 强化了我的工程应用能力, 收获颇丰。

## 参考文献

- [1] S. Katz and A. Tal, “Hierarchical mesh decomposition using fuzzy clustering and cuts,” *ACM transactions on graphics (TOG)*, vol. 22, no. 3, pp. 954–961, 2003. [1](#)